

# خواص ساختاری و مکانیکی فوم‌های میکروسلولی ABS پرنشده و پرشده با پرکننده‌های معدنی (کربنات کلسیم)

کامران کاظمی بیدختی<sup>i</sup>; امیرحسین بهروش<sup>ii</sup> طاهر ازدست<sup>iii</sup>

## چکیده

فوم‌های میکروسلولی (Microcellular Foams) به آن دسته از فوم‌ها اطلاق می‌شود که تعداد بسیاری سلول‌های ریز در اندازه‌های حدود ۱۰ میکرون دارند. در این فوم‌ها از گاز خنثی (نیتروژن یا دی‌اکسیدکربن) به عنوان ماده پفرده‌نده استفاده می‌شود. به دلیل کوچکی سلول‌ها، این فوم‌ها خواص مکانیکی و فیزیکی برتری؛ مانند استحکام به وزن، استحکام به ضربه، خواص حرارتی و دی‌الکتریکی، حتی نسبت به پلاستیک فوم‌پرنشده دارند. در این تحقیق به بررسی خواص ساختاری و مکانیکی فوم‌های میکروسلولی ABS خالص و ABS پرشده با کربنات کلسیم پرداخته شده است. مقدار جذب گاز، از دست دادن گاز، چکالی نسبی، تعداد سلول‌ها، ساختار فوم و همچنین استحکام کششی فوم بررسی و اندازه‌گیری شده است. نتایج نشان می‌دهد که برای به دست آوردن ساختار بهینه، دما و زمان فوم باید به دقت تحت کنترل قرار گیرد. این شرایط در دمای حدود ۱۰۰ درجه سانتیگراد و زمان ۶۰ ثانیه بوده است که برای هر دو نمونه ABS خالص و ABS حاوی کربنات کلسیم یکسان می‌باشد.

## کلمات کلیدی

فوم‌های میکروسلولی، فوم ABS، ABS حاوی کربنات کلسیم، پرکننده‌های معدنی.

## An experimental study on mechanical and structural properties of batch-processed microcellular ABS

Kamran KAzemi Beydokhti; Amir Hossein Behravesh; Taher Azdast

### ABSTRACT

Microcellular foams are thermoplastic foams containing a large number of small cells on the order of 10  $\mu\text{m}$  in size. As blowing agent, an inert gas ( $\text{CO}_2$  or  $\text{N}_2$ ) is used. Because of very tiny cells, these foams exhibit improved mechanical and physical properties. For instance, tensile-to-density, toughness, thermal properties and electrical properties are improved. In this paper, structural and mechanical properties of microcellular foams of ABS and its composite (mineral filled) are studied. Gas absorption, gas desorption, density, size and number of microcells and also ultimate tensile strength and ultimate strain of foams are compared. Results show that a sound structure and a high tensile-to-density can be obtained with regulating time and temperature just above glass transition temperature. The results also revealed that although mechanical properties are improved, the enhancement is not as it has been commonly asserted.

### KEYWORDS

Microcellular foams, ABS foams, glass reinforced ABS.

<sup>i</sup> دانشجوی کارشناسی ارشد مهندسی مکانیک؛ دانشگاه تربیت مدرس؛ دانشکده فنی و مهندسی؛ بخش مکانیک؛ گروه ساخت و تولید.

<sup>ii</sup> استادیار مهندسی مکانیک؛ دانشگاه تربیت مدرس؛ دانشکده فنی و مهندسی؛ بخش مکانیک؛ گروه ساخت و تولید.

<sup>iii</sup> دانشجوی دکترا مهندسی مکانیک؛ دانشگاه تربیت مدرس؛ دانشکده فنی و مهندسی؛ بخش مکانیک؛ گروه ساخت و تولید.

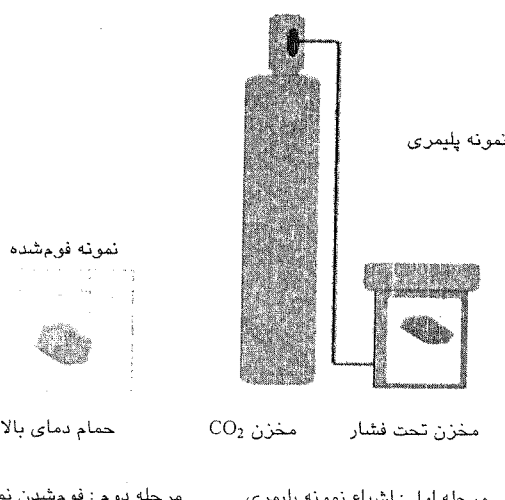
## ۱- مقدمه

با ضخامت بسیار کم تولید کرد[۴]. قابلیت کنترل ریزساختار و ایجاد ریزساختارهای کامپوزیتی محدوده کاربرد این مواد را بسیار افزایش خواهد داد. در صورت ساخت قطعات تزریقی با فرآیند میکروسولوی، هزینه‌های ساخت در مجموع به دلیل کاهش مصرف ماده اولیه و زمان سیکل کاهش می‌یابد[۵].

ایده تولید حبابهای بسیار ریز به وسیله جوانه‌زنی گاز در پلاستیک‌ها ابتدا به وسیله مارتینی (Martini) در استیتو تکنولوژی ماساچوست(MIT) در اوایل دهه ۱۹۸۰ به عنوان راهی برای کاهش قیمت بسیاری از پلاستیک‌های تولید دسته‌ای، ارائه شد[۱]. اساس این پدیده آن است که اگر به اندازه کافی حبابهای کوچکتر از ترکهای بحرانی در قطعه ایجاد شوند، چگالی بدون از دست دادن قابل ملاحظه خواص مکانیکی مطلوب، کاهش خواهد یافت. به این ترتیب، پلاستیک‌های میکروسولوی می‌توانند بدون لطمہ به عملکرد، جایگزین فوم‌های سنتی یا حتی پلاستیک‌های فوم نشده شوند، ضمن اینکه برخی از خواص را بهبود می‌بخشند.

## ۲- تئوری و پیشینه پژوهش

فوم‌کردن میکروسولوی به طور کلی شامل سه مرحله است: جذب گاز، جوانه‌زنی و رشد سلول. در روش توده‌ای (Batch) در مرحله اول نمونه پلیمری با گاز خنثی و با فشار بالا در یک مخزن تحت فشار، اشباع می‌شود (شکل ۱).



شکل(۱): نمایی از سیستم تولید دسته‌ای فوم‌های میکروسولوی [۳]

با گذشت زمان، مولکول‌های گاز در پلیمر نفوذ می‌کند تا پلیمر از گاز اشباع شود. پس از اشباع، جذب متوقف شده و

اهمیت کاهش مصرف منابع طبیعی با توجه به محدودیت این منابع بسیار قابل توجه است. روش تولید فوم با ایجاد حباب‌ها یکی از روش‌های کاهش مواد مصرفی است به شرطی که شرایط کاری را تأمین کند. تحقیقات نشان داده است که یک قطعه از پلاستیک‌های فوم شده به روش سنتی ساخته شده، خواص مکانیکی بسیار ضعیفتری نسبت به یک قطعه ساخته شده از پلاستیک فوم شده دارد[۱، ۲]. بنابراین برای کاربردهایی که به استحکام کششی، استحکام به ضربه، چرمگی، مقاومت به شکست خوب و سفتی مناسب نیاز دارد، استفاده از فوم‌های سنتی پیشنهاد نمی‌شود. از طرفی در تولید فوم‌های سنتی اغلب از کلورو فلورو کربن‌های (CFCs و HCFCs) مضر برای لایه ازن و هیدروکربن‌های قابل اشتعال، به عنوان عوامل تولید کننده حباب استفاده از گازهای خنثی (نیتروژن و دی‌اکسیدکربن) مضرات مذکور وجود نخواهد داشت. در فوم‌های میکروسولوی که به وسیله جوانه‌زنی گاز در ترمoplاستیک‌ها ایجاد می‌شوند، تعداد بسیار زیادی از سلول‌های ریز (معمولأً بیش از  $10^8$  سلول در سانتیمتر مکعب) وجود دارد که قطر سلول‌ها از مرتبه  $\mu\text{m}$  می‌باشد[۱]. پلاستیک‌های فوم شده میکروسولوی جایگزین مناسبی برای پلاستیک‌ها و فوم‌های رایج هستند. یک قطعه تولید شده و فوم شده با روش میکروسولوی می‌تواند تا ۷۰ درصد صرفه‌جویی در ماده اولیه داشته باشد ضمن این که خواصی نظیر عایق بودن، عمر خستگی، استحکام به وزن و ضربه‌پذیری آن نسبت به پلیمر فوم شده بهبود می‌یابد.

امروزه در هرجا که از پلاستیک‌های جامد استفاده می‌شود، می‌توان برای کاهش مقدار ماده مصرفی وارد عمل شد. این صرفه‌جویی در هزینه‌های ماده مصرفی و حمل و نقل در بسیاری از موارد اثر مهمی به جا می‌گذارد. در صنایع خودروسازی و هوا و فضا، کاهش وزن سبب افزایش ظرفیت ترابری می‌شود. این مواد در بسیاری از صنایع از قبیل بسته‌بندی، خودروسازی، لوازم خانگی، اسباب بازی، هواپیما، اعضای مصنوعی و صنایع پزشکی و غیره تأثیر بسزایی دارد. خواص ساختاری و مکانیکی بهبود یافته از دیگر مزایای فوم‌های میکروسولوی است. یکی از محدودیت‌های فوم‌های سنتی این است که این قطعات باید ضخامت بیش از ۵ میلیمتر داشته باشند[۴] در حالی که برای فوم‌های میکروسولوی این محدودیت وجود ندارد؛ زیرا از آنجا که حفره‌ها بسیار کوچک و سطح پلاستیک فوم شده صاف و هموار است، می‌توان قطعه‌های

دی اکسید کربن رایج‌تر است؛ چون حلالیت آنها در پلیمرها بالا و هزینه آنها نیز کم است. گاز دی اکسید کربن نرخ حلالیت و نفوذ متفاوتی با نیتروژن دارد. در اغلب مواد، نرخ نفوذ  $\text{CO}_2$  حدود ۲۰٪ بیشتر از نیتروژن است. بعلاوه قابلیت انحلال  $\text{CO}_2$  در پلیمر بسیار بالاتر از نیتروژن است. به طوری که در اغلب سیستم‌های میکروسلولی، دی اکسید کربن جذب شده از لحاظ وزنی ۲/۵ برابر نیتروژن است.<sup>[۸]</sup>

روش تولید توده‌ای فوم‌های میکروسلولی، تئوری‌های تشكیل و رشد حباب‌ها و نرخ جوانه‌زنی در سیستم اشباع گاز، پلیمر را مارتینی بررسی کرد.<sup>[۱]</sup> وی همچنین رشد سلول و اندازه آن به عنوان تابعی از زمان را بررسی کرد. والدمن خواص مکانیکی فوم میکروسلولی پلی استایرین را بررسی کرد.<sup>[۹]</sup> کلتون نیز جوانه‌زنی در ترمومپلاستیک‌های بی‌شکل و حضور عامل جوانه‌زا را مطالعه کرد.<sup>[۷]</sup> کومار سینتیک تولید قطعات میکروسلولی با هندسه مشخص و ساختار میکروسلولی را بررسی کرد.<sup>[۲]</sup> تحقیقات زیادی بر روی فوم‌های میکروسلولی تولید شده به روش توده‌ای بین سال‌های ۱۹۸۰ تا ۱۹۹۰ صورت پذیرفت. با توجه به اهمیت فرآیندهای معمول پلاستیک؛ مانند اکستروژن و قالبگیری تزریقی، کار بر روی فرآیند تولید فوم میکروسلولی به روش اکستروژن به وسیله پارک<sup>[۲]</sup> آغاز شد و با تحقیق بهروش<sup>[۱۰]</sup>، [۱۱] ادامه یافت. در این تحقیقات نحوه ایجاد مخلوط یکنواخت، هسته‌زنی و رشد سلول‌ها برای به دست آوردن چگالی پایین بررسی و آزمایش و تولید صنعتی فوم‌های میکروسلولی تجربه شد.

غاظت لحظه‌ای گاز حل شده در پلیمر با فرمول زیر به دست

می‌آید<sup>[۱۲]</sup> :

$$\frac{M_t}{M_\infty} = 1 - \frac{8}{\pi^2} \sum_{m=0}^{\infty} \frac{1}{(2m+1)^2} \exp\left[-\frac{D(2m+1)^2 \pi^2 t}{h^2}\right] \quad (1)$$

در این فرمول،  $D$  قابلیت نفوذ بر حسب ( $\text{cm}^2/\text{s}$ )،  $M_t$  جرم پس از زمان  $t$  بر حسب (g)،  $h$  ضخامت نمونه بر حسب (cm)،  $M_\infty$  جرم تعادلی پس از زمان بی‌نهایت بر حسب (g) و  $t$  زمان سپری شده بر حسب (s) است. حداکثر مقدار گاز حل شده در پلیمر را؛ که به فشار و دمای سیستم بستگی دارد، می‌توان با قانون هنری (Henry) تخمین زد<sup>[۱۳]</sup> :

$$Cs = H \cdot Ps \quad (2)$$

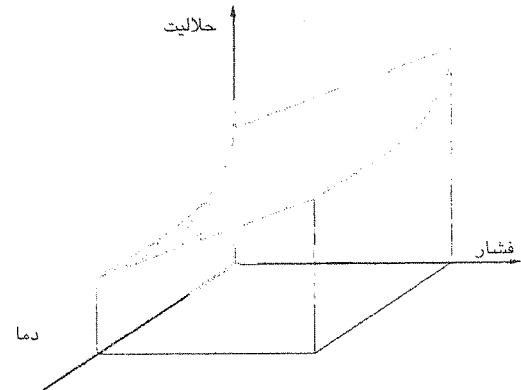
در فرمول بالا،  $Cs$  قابلیت انحلال گاز در پلیمر (cm<sup>3</sup>/g)،  $H$  ثابت هنری (Pa/g-Pa) و  $Ps$  فشار اشباع (Pa) است.  $H$  تابعی از دماست که به صورت زیر بیان می‌شود<sup>[۱۳]</sup> :

$$H = H_0 \exp\left(-\frac{\Delta H}{RT}\right) \quad (3)$$

توزیع گاز درون قطعه، یکنواخت می‌شود. به طور معمول چندین ساعت تا چندین روز زمان لازم است تا یک ورق نازک پلاستیکی اشباع شود. این زمان به جنس پلاستیک، قابلیت نفوذ گاز استفاده شده در پلاستیک، ضخامت، دمای اشباع و فشار گاز بستگی دارد. اگرچه دمای بالاتر نفوذ گاز در پلاستیک را شتاب می‌بخشد؛ ولی با توجه به این که حلالیت گازها در پلیمر با دما رابطه معکوس دارد و در دمای اتاق مقدار بیشتری گاز حل خواهد شد؛ لذا مرحله اشباع معمولاً در دمای اتاق انجام می‌شود.

پس از آنکه پلیمر اشباع شد آن را از مخزن تحت فشار بیرون آورده تا در مرحله بعد فوم شود. در این مرحله، نمونه اشباع شده تا دمای فوم شدن؛ که نزدیک دمای شیشه‌ای (Glass Transition Temperature) است، گرم می‌شود. دمای شیشه‌ای دمایی است که در آن پلیمر از یک حالت سخت و شکننده مشابه شیشه به حالت منعطف و کشسان تبدیل می‌شود.<sup>[۶]</sup> در طی این مرحله تعداد بسیار زیادی هسته تشكیل شده و رشد می‌کنند. رشد حباب‌ها با نگهداری در دمای فوم شدن با طول زمانی مشخص کنترل می‌شود که به آن زمان فوم کردن می‌گویند.

شکل (۲) نمودار حلالیت، دما و فشار را نشان می‌دهد. همان‌طور که مشاهده می‌شود حلالیت گاز با ازدیاد فشار اشباع گاز و با کاهش دما افزایش می‌یابد.



شکل (۲): نمودار حلالیت، دما و فشار<sup>[۳]</sup>

در فرآیند شکل (۱)، پس از اشباع نمونه در فشار بالا، شیر خروج گاز باز شده و فشار مخزن به صورت آنی به فشار محیط افت پیدا می‌کند. سپس نمونه در داخل ظرف حاوی گلیسروول؛ که دمای آن تحت کنترل است، انداده شده می‌شود. این دو ناپایداری ترمودینامیکی، افت فشار و افزایش دما، دو نیروی رانش اصلی برای جوانه‌زنی سلول‌ها هستند.<sup>[۷]</sup> می‌توان از گازهای بی‌اثر مختلفی استفاده کرد، اما استفاده از نیتروژن و

جوانه‌زنی اتفاق می‌افتد.

### ۳- هدف تحقیق

هدف از انجام این تحقیق بررسی اثر پارامترهای فرآیند و پرکننده بر خواص ساختاری و مکانیکی فوم میکروسولولی است. در این مقاله، تحقیق بر روی فوم میکروسولولی ABS (آکریلونیتریل بوتادین استایرن) و ABS پرشده با کربنات کلسیم انجام شده است. ABS یک آلیاژ کوپلیمر بی‌شکل است و در صنایع مختلف استفاده می‌شود؛ مانند بدنه کامپیوتر، اجزای داخلی خودرو، اثاث و لوازم منزل و مصالح ساختمانی. در بسیاری از این کاربردها می‌توان فوم‌های میکروسولولی ABS را جایگزین ABS کرد. گاهی برای کاهش قیمت و یا بهبود برخی خواص از پرکننده‌ها استفاده می‌شود. هرچند در خصوص برخی مواد پرکننده مانند الیاف چوب در فرآیند فوم‌کردن تحقیق انجام گرفته است [۱۲] ولی تاکنون در خصوص مقایسه اثر پرکننده‌ها بر خواص ساختاری و مکانیکی این نوع فوم‌ها گزارشی منتشر نشده است [۱۵، ۱۶].

### ۴- آزمایش‌ها

#### ۴-۱- مواد آزمایش

در این تحقیق، از هرکدام از جنس‌های ABS پرنشده و ABS پرشده با ۴۰٪ کربنات کلسیم، ۵۱ نمونه مربعی به ابعاد ۲۵×۲۵×۱/۵ mm میکرون (mm) برای بررسی ساختار فوم و ۵۱ نمونه دمبلی شکل برای تست کشش مطابق استاندارد ASTM-D638-MIII به روش قالبگیری تزریقی تولید و استفاده شد.

#### ۴-۲- تجهیزات

برای انجام آزمایش‌ها، سامانه شکل (۱) ساخته و نصب شد. یک ترازوی دقیق مدل Adam Equipment با ریزسنجی ۰۰۰۱ گرم برای اندازه‌گیری چگالی به روش نیوتون و یک دستگاه تست کشش Zwick برای اندازه‌گیری استحکام کششی استفاده شد؛ سپس از مقطع نمونه‌های آماده شده با میکروسکوپ الکترونی (SEM) مدل Philips XL30 برای بررسی ساختاری فوم (اندازه و تعداد سلول‌ها) تصویر برداری شد.

#### ۴-۳- روش انجام آزمایش

در فرآیند فوم کردن میکروسولولی چهار متغیر مختلف برای کنترل فرایند وجود دارد که عبارتند از: زمان اشباع، فشار اشباع، زمان فوم کردن و دمای فوم کردن. پارامترهای متغیر در این تحقیق دمای فوم کردن و زمان فوم کردن بودند. ابتدا نمونه تحت آزمایش در مخزن دی اکسید کربن با فشار ۶ MPa قرار گرفت. پس از مدت قابل قبول (اندازه گیری شده)، با اطمینان از

در این معادله،  $R$  ثابت گاز (J/K)،  $T$  دما (K)،  $H_0$  ضریب حلالیت (STP)/g-Pa) و  $\Delta H_s$  گرمای مولار جذب (J) است.  $\Delta H_s$  در اغلب سیستم‌های گاز-پلیمر منفی می‌باشد.

همان طور که قبلاً اشاره شد، نرخ نفوذ گاز به داخل پلیمر بسیار پایین است. زمان مورد نیاز برای نفوذ گاز در پلیمر با فرمول زیر تخمین زده می‌شود [۱۲] :

$$t_D \approx \frac{h^2}{4D} \quad (4)$$

در این فرمول،  $h$  ضخامت قطعه بر حسب cm و  $D$  ضریب نفوذ بر حسب  $\text{cm}^2/\text{s}$  است که مقدار  $D$  را می‌توان به صورت تجربی به دست آورد و یا از جداول موجود استخراج کرد. در این صورت  $t$  بر حسب ثانیه به دست می‌آید. برای بررسی تعداد سلول‌ها، از روی تعداد سلول در واحد حجم پلیمر فوم شده، تعداد سلول ایجاد شده در واحد حجم پلیمر فوم شده ( $N$ ) محاسبه می‌شود که به آن چگالی سلول می‌گویند و می‌توان آن را از فرمول زیر به دست آورد [۲] :

$$N = \left( \frac{n}{l^2} \right)^{3/2} \frac{\rho_p}{\rho_f} \times 10^{12} \quad (5)$$

در این فرمول،  $n$  تعداد حباب‌ها در سطحی با ابعاد  $l \times l$  به میکرون است.  $\rho_p$  چگالی پلیمر فوم شده و  $\rho_f$  چگالی فوم به دست آمده می‌باشد. اندازه سلول‌ها از تصویر میکروسکوپ الکترونی قابل اندازه‌گیری است. در صورت یکنواختی توزیع اندازه‌ها می‌توان به راحتی اندازه سلول‌ها را با خطای قابل قبولی برداشت کرد. در صورت تنوع اندازه‌ها می‌توان از رابطه زیر برای محاسبه قطر حباب‌ها استفاده کرد [۱۴] :

$$d = \sqrt[3]{\frac{6(\rho_p - \rho_f)}{\pi N \rho_f}} \quad (6)$$

$N$  از رابطه (۵) به دست می‌آید.

نرخ جوانه‌زنی همگن  $\dot{N}$  به صورت زیر به دست می‌آید [۷] :

$$\dot{N} = C_0 f_0 \exp\left(-\frac{\Delta G^*}{kT}\right) \quad (7)$$

در این فرمول،  $f_0$  فاکتور فرکانسی معادل  $10^{-5} \text{ sec}^{-1}$  برای تشکیل یک جوانه بحرانی با مولکول‌ها [۷].  $C_0$  غلظت مولکول‌های گاز،  $T$  دما بر حسب (K) و  $k$  ثابت بولتزمن بر حسب (J/K) است.  $\Delta G^*$  نیز انرژی اکتیواسیون برای جوانه‌زنی همگن است که از رابطه زیر به دست می‌آید [۷] :

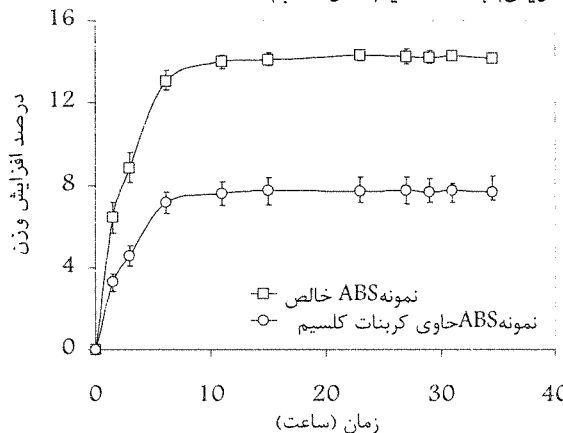
$$\Delta G^* = \frac{16\pi\gamma^3}{3(\Delta P)^2} \quad (8)$$

در این رابطه،  $\gamma$  کشش سطحی پلیمر و  $\Delta P = P_e - P_0$  فشار اشباع گاز و  $P_0$  فشار محیط است که در آن است.

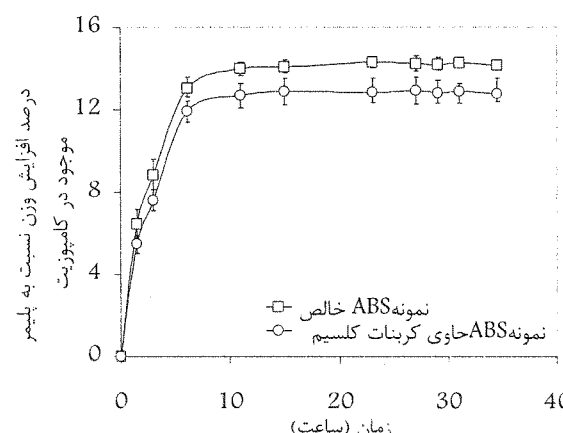
صورت نمودار استحکام به وزن در زمان و دمای مختلف رسم شد.

## ۵- نتایج و بحث

زمان لازم برای اشباع نمونه‌ها به وسیله گاز در شکل (۲-الف) نشان داده شده است. همان طور که در نمودار مشاهده می‌شود، زمان لازم برای اشباع تقریباً ۸ ساعت است که با عدد به دست آمده از فرمول (۴) مطابقت دارد. این نمودار همچنین نشان می‌دهد که حداقل افزایش نسبی وزن نمونه ABS خالص تقریباً  $14/1$  و وزن نمونه است در حالی که این مقدار برای نمونه‌های ABS حاوی کربنات کلسیم تقریباً  $10/8$  است. این شکل نشان می‌دهد که هر چند تفاوت جذب گاز بسیار کمتر است، لیکن اثر منفی وجود پرکننده در جذب گاز نمایان می‌باشد. با توجه به وجود مواد پرکننده به نسبت وزنی بالا، نیاز است که مقدار جذب گاز بر حسب مقدار پلیمر موجود (ماتریس) به دست آید (شکل ۳-ب).



شکل (۲-الف): نمودار اشباع سیستم ABS-CO<sub>2</sub> (درصد جذب گاز)

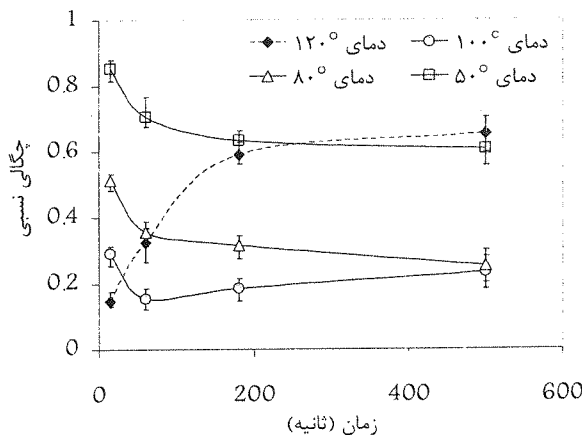


شکل (۳-ب): نمودار درصد جذب گاز نسبت به پلیمر مو جود در کامپوزیت

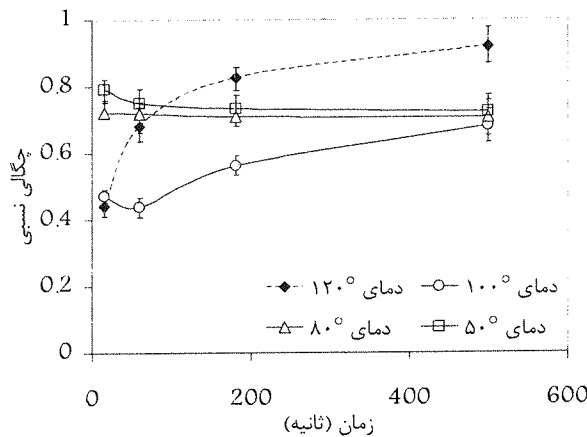
اشباع، فشار مخزن با باز کردن شیر به طور لحظه‌ای به صفر کاهش داده شد؛ سپس نمونه در حمام گلیسروول در دمای تعیین شده قرار گرفت و زمان نگهداری نیز اندازه‌گیری شد. پس از فوم شدن، چگالی آن با روش ارشمیدس اندازه گیری شده و در ادامه پس از انجام آماده‌سازی‌های مورد نیاز برای تصویربرداری با میکروسکوپ الکترونیکی، ساختار سطح نمونه فوم شده مشاهده شد و تعداد سلول‌ها و اندازه آنها به دست آمد.

زمان لازم برای اشباع نمونه مطابق فرمول (۴)،  $D=19/2 \times 10^{-8} \text{ cm}^2/\text{s}$  برابر با ۸ ساعت است [۱۷]. برای به دست آمدن زمان اشباع به صورت تجربی، در زمان‌های مختلف وزن نمونه‌های در حال اشباع شدن خوانده شده و زمان لازم برای اشباع نمونه‌ها به دست آمد. برای به دست آوردن درصد افزایش وزن نمونه، وزن زمینه پلیمری استفاده شده است تا اثر وزنی ذرات کربنات کلسیم در نظر گرفته نشود. در مرحله بعد از یک سری نمونه‌های کاملاً اشباع شده استفاده شد و این نمونه‌ها در فشار اتمسفر قرار داده شدند تا میزان از دست دادن گاز از نمونه‌ها با گذشت زمان اندازه‌گیری شود. مقدار گاز خارج شده از زمینه پلیمری نیز محاسبه شد.

برای انجام آزمایش‌ها فشار اشباع، ثابت گرفته شد و زمان اشباع نیز ۲۴ ساعت انتخاب شد تا نمونه‌ها کاملاً اشباع شوند. به این ترتیب، دو پارامتر دمای فوم کردن و زمان فوم کردن بررسی شدند. برای بررسی این دو پارامتر دماهای تنظیم شده حمام گلیسروول عبارتند از: ۱۰۰، ۸۰، ۵۰ و ۲۰ درجه سانتیگراد و زمان‌های نگهداری (غوطه وری نمونه‌ها) در هر دما عبارتند از: ۱۵، ۱۰، ۶۰، ۱۸۰ و ۵۰۰ ثانیه. بنابراین تعداد سطوح آزمایش ۱۶ عدد بوده است که در هر سطح آزمایش حداقل سه نمونه مربعی و دمبلی مورد آزمایش قرار گرفتند. به عنوان مثال، ۱۲ نمونه مربعی و ۱۲ نمونه دمبلی شکل از جنس ABS خالص اشباع شده، در دمای ۵۰ درجه قرار داده شدند و سه نمونه مربعی و سه نمونه دمبلی شکل پس از ۱۵ ثانیه، سه نمونه مربعی و سه نمونه دمبلی شکل دیگر پس از ۶۰ ثانیه، سه نمونه مربعی و سه نمونه دمبلی شکل دیگر پس از ۱۸۰ ثانیه و بالاخره سه نمونه مربعی و سه نمونه دمبلی شکل باقیمانده پس از ۵۰۰ ثانیه از حمام ۵۰ درجه خارج شدند. در سایر دمایها نیز به همین ترتیب عمل شد. در نهایت، ۴۸ نمونه مربعی و ۴۸ نمونه دمبلی شکل فوم شده ABS خالص به دست آمد. همین کار نیز برای ۴۸ نمونه مربعی و ۴۸ نمونه دمبلی شکل از جنس ABS حاوی کربنات کلسیم انجام شد. چگالی این نمونه‌ها به دست آمد و نمودار چگالی آنها نسبت به چگالی نمونه فوم شده در زمان و دمای مختلف رسم شد. همچنین نتایج تست کشش به



شکل(۵-الف): نمودار چگالی نسبی نمونه های ABS خالص نسبت به زمان و دما



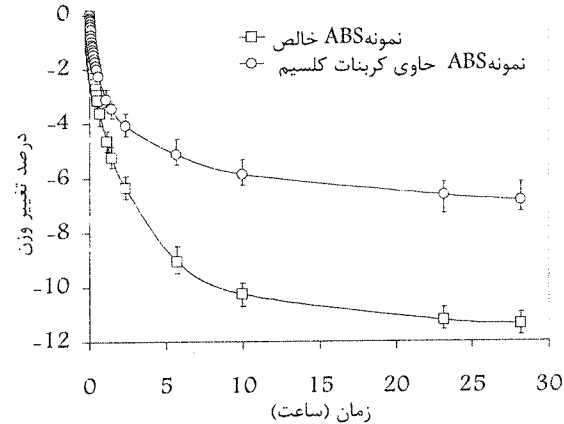
شکل(۵-ب): نمودار چگالی نسبی نمونه های ABS حاوی کربنات کلسیم

بنابراین مطابق شکل (۵-الف) با افزایش زمان فوم کردن، در دمای ۵۰°C و ۸۰°C چگالی کاهش می‌یابد؛ اما در دمای ۱۰۰°C مشاهده می‌شود که ابتدا چگالی قطعه کاهش یافت، لیکن با افزایش دما چگالی افزایش می‌یابد. این به دلیل ایجاد فرستت به گازها برای خروج از قطعه (فرار گازها) است [۱۰].

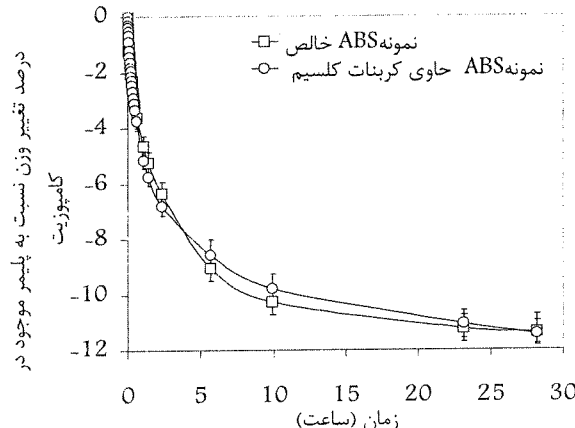
در دمای فوم ۱۲۰°C مشاهده می‌شود که با اندک زمانی حدود ۱۵ ثانیه، کمترین چگالی حاصل می‌گردد که نشانگر اثر تحریک دمای بالا بر روی رانش و نفوذ گاز به درون حباب‌های تولید شده است؛ لیکن با افزایش زمان فوم، مقدار چگالی به شدت افزایش می‌یابد که دلیل آن در فوق اشاره شد. دلایل فوق رفتار چگالی نمونه‌های حاوی کربنات کلسیم را نیز توجیه می‌کند.

در واقع یکی از معایب روش توده‌ای این است که با گرم شدن سطح قطعه در ابتدای فوم شدن، گازهای اشباع شده به خارج قطعه فرار می‌کنند. با مشاهده چگونگی فوم شدن ملاحظه

از نمودار شکل(۴-الف) می‌توان دریافت که برای نمونه‌های کاملاً اشباع شده ABS خالص حداقل گاز ازدست رفته بعد از گذشت تقریباً ۲۵ ساعت بوده و تقریباً معادل ۱/۱۱ وزن نمونه است در حالی که این مقدار برای نمونه‌های ABS حاوی کربنات کلسیم در همین مدت زمان ۰/۰۶ است. با احتساب مشارکت ماده پلیمری، نمودار شکل (۴-ب) نشان می‌دهد که درصد از دست دادن گاز در دو نمونه تقریباً یکسان است.

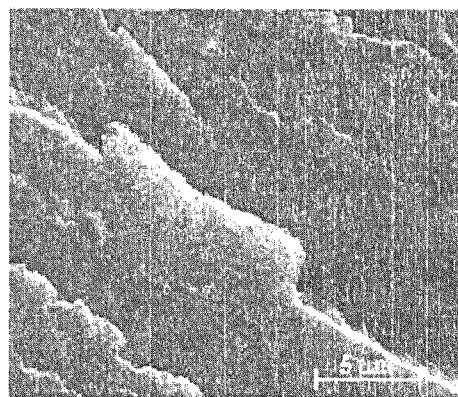


شکل (۴-الف): نمودار درصد از دست دادن گاز در نمونه های اشباع شده (خارج شدن گاز از نمونه)

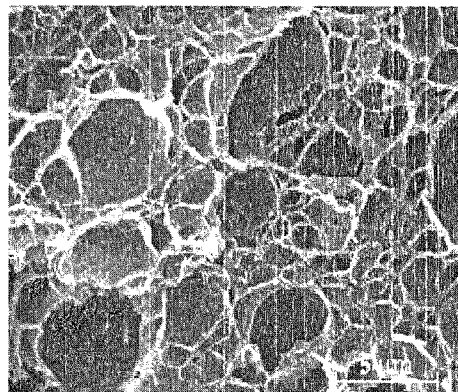


شکل (۴-ب): نمودار درصد از دست دادن گاز نسبت به پلیمر موجود در کامپوزیت

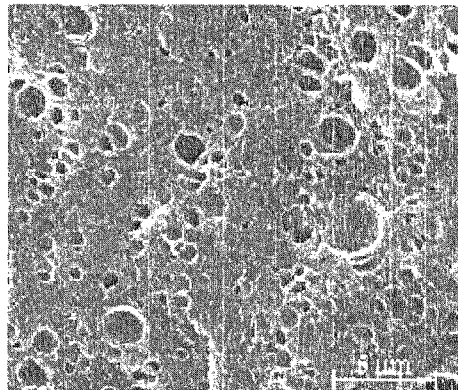
در شکل (۵) نتایج چگالی قطعات فوم شده بر حسب دمای فوم کردن و زمان فوم کردن داده شده است. همان طور که در این شکل مشاهده می‌شود، دما و زمان فوم شدن اثر قابل توجهی بر چگالی قطعه فوم شده دارند. با قرار دادن قطعه در حمام داغ، نیروی رانش برای خارج کردن گاز از ماتریس پلیمری (به دلیل کاهش حلایت در دمای بالا) سبب می‌شود که ملکول‌های گاز اشباع شده به درون حباب‌ها نفوذ کرده و باعث رشد آنها شود.



شکل (۶-الف): تصویر SEM از ABS خالص (فوم نشده)



شکل (۶-ب): تصویر SEM از فوم ABS خالص در دمای  $100^{\circ}\text{C}$  به مدت ۶۰ ثانیه



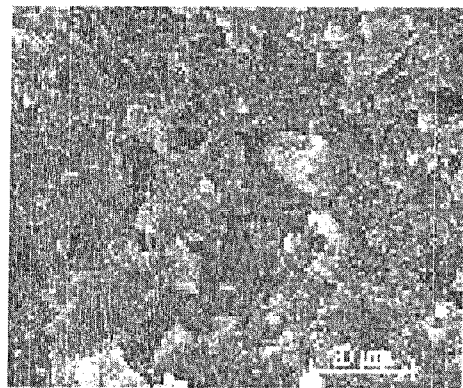
شکل (۶-ج): تصویر SEM از فوم ABS خالص در دمای  $50^{\circ}\text{C}$  به مدت ۱۵ ثانیه

می‌شود که قطعه درون حمام داغ به جوش می‌آید که در واقع همان فرار ملکول‌های گاز به خارج قطعه است. بنابراین با فرار کردن بخش اعظمی از گاز اشباع شده، میزان افزایش حجم محدود خواهد شد. این میزان افزایش حجم با زمان ماندگاری بیش از حد قطعه در حمام داغ، کمتر می‌شود؛ زیرا زمان لازم برای فرار شدیدتر گازها فرآهن آمده به طوری که در نهایت میزان پف کردن قطعه (با کاهش اندازه سلول‌ها و یا از بین رفتن آنها) کاهش می‌یابد. بنابراین، افزایش زمان و دما نه تنها باعث رانش گازها به داخل سلول‌ها می‌شود، بلکه باعث فرار آنها به بیرون قطعه می‌گردد. به همین دلیل امکان کاهش چگالی به روش توردهای محدود است.

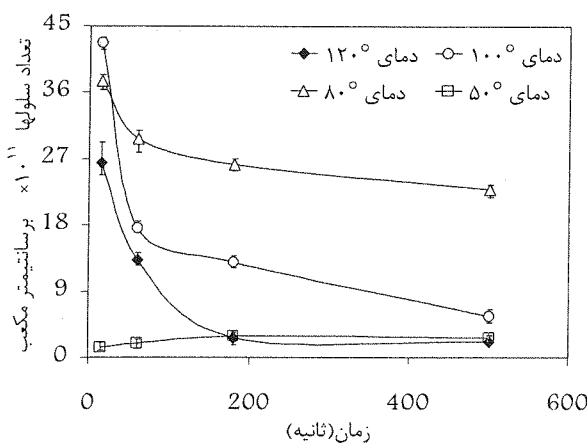
همان طور که از نمودار چگالی نسبی ABS خالص (شکل ۵-الف) مشاهده می‌شود، بیشترین میزان فوم شدگی در دمای ۱۲۰ درجه سانتیگراد و زمان ۱۵ ثانیه اتفاق افتاده است؛ اما از نظر انعطاف‌پذیری در روش تولید در دمای ۱۲۰ درجه کنترل فرآیند کمی مشکل است؛ زیرا همان طور که ملاحظه می‌شود، چگالی قطعه با افزایش دما بلاfacسله افزایش می‌یابد. همچنین اعوجاج نمونه در دمای ۱۲۰ درجه قابل ملاحظه است. از طرفی، نمودار چگالی نسبی نشان می‌دهد که در دمای ۱۰۰ درجه و زمان ۶۰ ثانیه نیز می‌توان فرمی با درصد چگالی نسبی پایین به دست آورد به گونه‌ای که قابلیت کنترل بهتری در فرآیند حاصل می‌شود. در نمونه‌های ABS حاوی کربنات کلسیم (شکل ۵-ب) نیز دمای ۱۰۰ درجه و زمان ۶۰ ثانیه مناسب‌ترین شرایط برای حداکثر فوم شدگی است. نتایج نشان می‌دهند که حجم نمونه‌های ABS خالص تا ۷ برابر افزایش یافته است (حجم نمونه فوم شده به حجم نمونه فوم نشده) ولی حجم نمونه‌های حاوی کربنات کلسیم تنها تا حدود  $2/3$  برابر افزایش یافته است. بخشی از این کاهش به دلیل مواد پرکننده است که قابلیت فوم شدگی ندارند. می‌توان فرض کرد که علت دیگر این کاهش ایجاد کانال‌های خروج گاز از ماتریس پلیمری است که به وسیله پرکننده در ماتریس پلیمری ایجاد می‌شوند. این کانال‌ها می‌توانند باعث فرار گاز شوند. در این خصوص نتایج تأیید شده تجربی وجود ندارد.

شکل‌های (۶) و (۷) نمونه‌های انتخاب شده از تصاویر SEM را نشان می‌دهند. عکس‌های (۶-الف) تا (۶-ج) به ABS خالص و عکس‌های (۷-الف) تا (۷-ج) به ABS حاوی کربنات کلسیم مربوط است به طوری که از هر نمونه سه تصویر آورده شده است که اولی به پلیمر فوم نشده و دومی به نمونه فوم شده در حالت بهینه و سومی به نمونه‌ای مربوط است که کمترین میزان فوم شدگی را دارد.

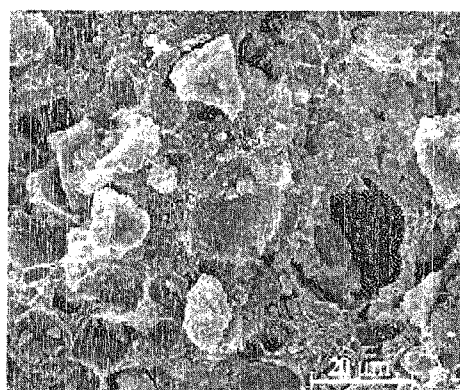
نمودارهای (۸) و (۹) آورده شده‌اند. در نمودار شکل (۸) مشاهده می‌شود که دما و زمان بر تعداد سلول‌ها اثر توأم‌ان دارند. به طوری که در زمان پایین با افزایش دما، به طور کلی تعداد سلول‌ها افزایش می‌یابد؛ لیکن با افزایش زمان تعداد سلول‌ها کاهش یافته است که شدت آن در دماهای بالاتر بیشتر می‌باشد. کاهش تعداد سلول‌ها با افزایش زمان و دما، به دلیل اتصال سلول‌ها به یکدیگر (Cell Coalescence)، یا محو شدن آنها (Cell Collapse) و یا فرار گازها است [۱۸].



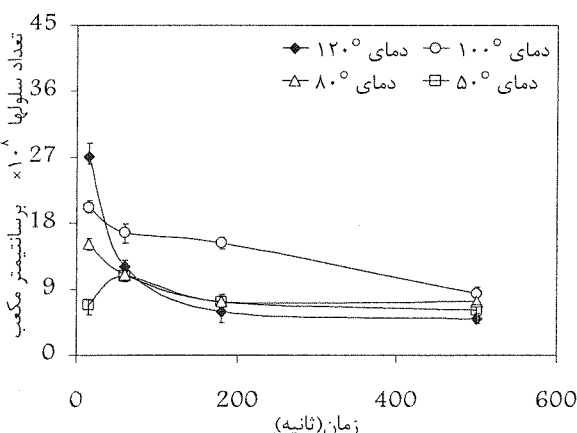
شکل (۷-الف): تصویر SEM از ABS حاوی کربنات کلسیم (فوم نشده)



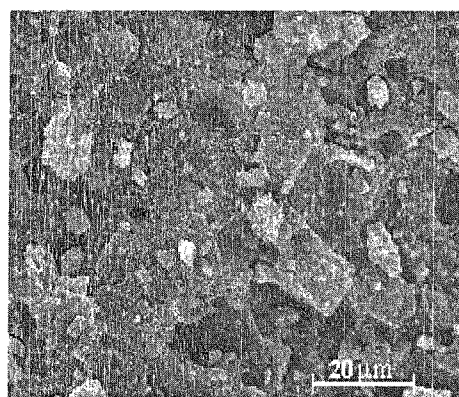
شکل (۸-الف): نمودار تعداد سلول‌های ABS خالص نسبت به زمان و دما



شکل (۷-ب): تصویر SEM از فوم ABS حاوی کربنات کلسیم در دما ۱۰۰°C به مدت ۶۰ ثانیه



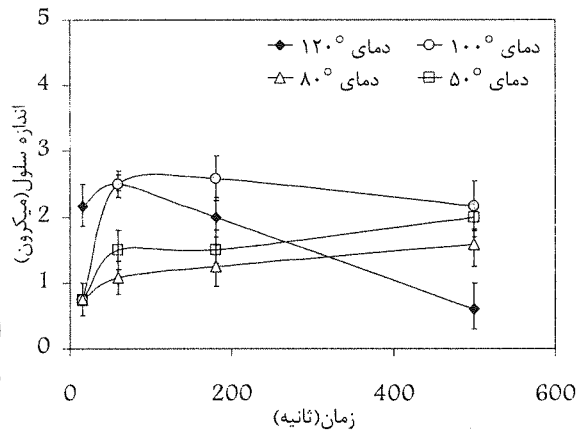
شکل (۸-ب): نمودار تعداد سلول‌های ABS حاوی کربنات کلسیم نسبت به زمان و دما



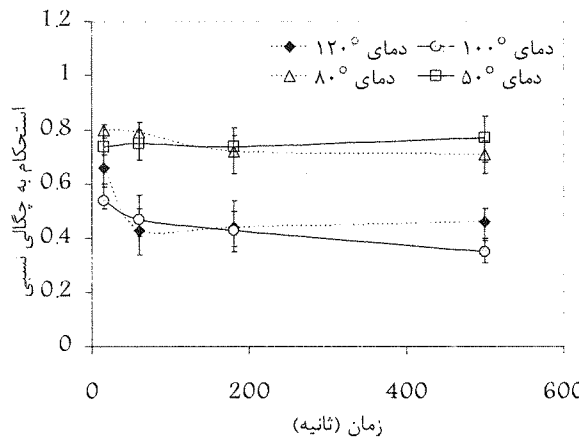
شکل (۷-ج): تصویر SEM از فوم ABS حاوی کربنات کلسیم در دما ۱۲۰°C به مدت ۵۰۰ ثانیه

پس از گرفتن تصاویر از تمام نمونه‌ها، چگالی تعداد سلول‌ها و اندازه متوسط آنها به دست آمدند که نتایج در

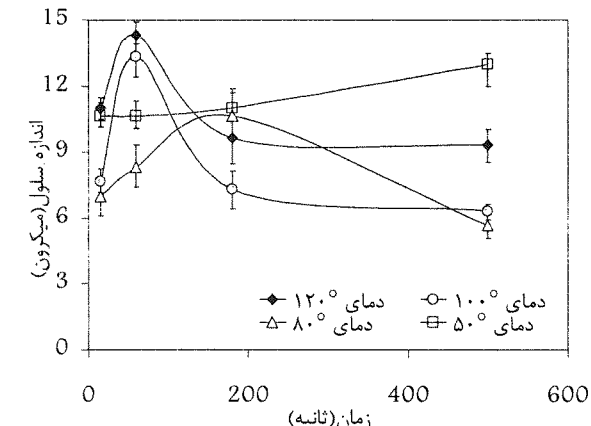
برابر کاهش و اندازه سلول‌ها حدود ۵ برابر افزایش داشته است که نشان‌دهنده کاهش جوانه‌زنی در نمونه‌های پرشده است. نمودارهای شکل (۱۰) نشان‌گر اثر پارامترهای فوم‌شدنگی بر استحکام به چگالی قطعات است. همان طور که از این دو نمودار مشخص است کاهش استحکام به چگالی در نمونه‌های خالص بیش از نمونه‌های حاوی کربنات کلسیم است که نشان دهنده نقش مثبت کربنات کلسیم در جلوگیری از کاهش استحکام کششی فوم‌های میکروسولولی است تا جایی که در بهترین حالت ( $100^{\circ}\text{C}$  و ۶۰ ثانیه) استحکام به چگالی نسبت به حالت فوم نشده تغییری نکرده است.



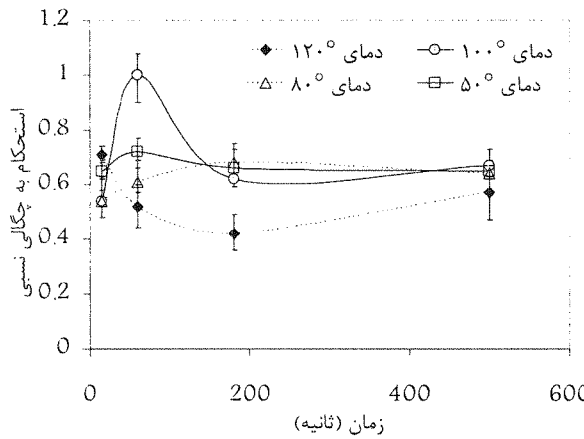
شکل (۹-الف): نمودار اندازه سلول‌های ABS خالص نسبت به زمان و دما



شکل (۹-الف): نمودار استحکام به چگالی نمونه‌های ABS خالص نسبت به زمان و دما



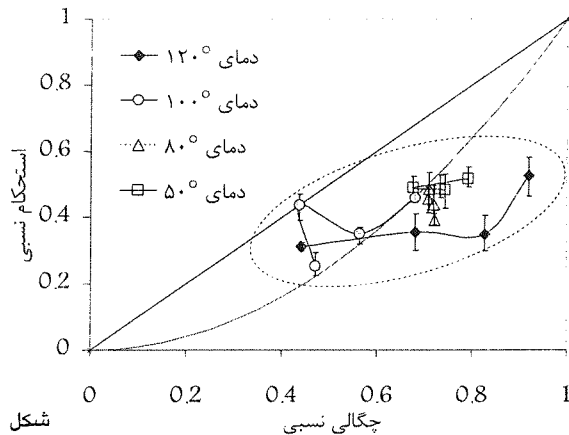
شکل (۹-ب): نمودار تعداد سلول‌های ABS حاوی کربنات کلسیم



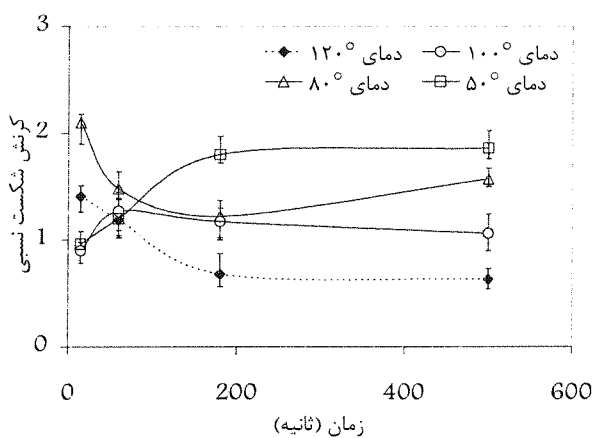
شکل (۱۰-ب): نمودار استحکام به چگالی نمونه‌های ABS حاوی کربنات کلسیم

سایر حباب‌ها داشته و به عنوان یک حباب بزرگ سبب تمرکز تنفس و کاهش استحکام شده‌اند؛ در حالی که در نمونه‌های حاوی ذرات کربنات کلسیم به علت کاهش مقدار گاز

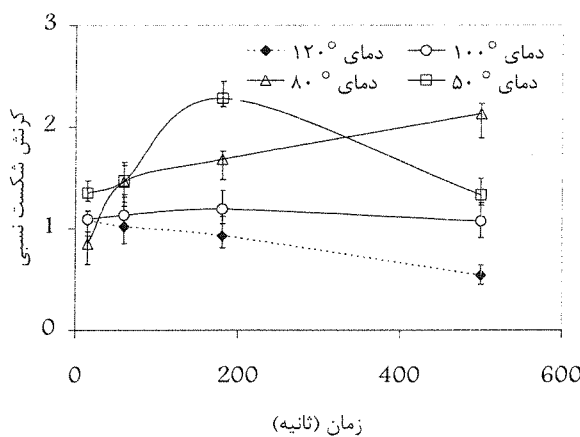
در صورتی که سلول‌ها به هم متصل شوند، سلول بزرگتری ایجاد می‌شود که هرچند تعداد سلول‌ها را کاهش می‌دهد؛ اما چگالی قطعه را افزایش نمی‌دهد. از طرفی محو شدن سلول‌ها (که می‌تواند عمدتاً به دلیل فرار گاز از درون قطعه به فضای محیط باشد) می‌تواند تعداد سلول‌ها را کاهش داده و در عین حال چگالی قطعه فوم‌شده را افزایش دهد. دو مکانیزم فوق توجیه کننده روابط ساختاری قطعه فوم‌شده؛ یعنی چگالی، تعداد و اندازه سلول‌ها می‌باشد. در نمونه‌های حاوی کربنات کلسیم، اثر افزودنی‌ها باعث ارجحیت جوانه‌زنی در محلهای ذرات افزودنی است. در عین حال، امکان ایجاد حباب در محل ماتریس پلیمر به علت جوانه‌زنی همگن وجود دارد. بنابراین می‌توان نتیجه گرفت که افزودن ذرات سبب کاهش تعداد حباب‌ها به علت کاهش احتمال جوانه‌زنی همگن می‌باشد. از نمودارهای شکل (۸) و (۹) می‌توان دریافت که تعداد سلول‌ها در نمونه‌های حاوی کربنات کلسیم در مقایسه با نمونه‌های خالص حدود  $100\%$



شکل (۱۱-ب): نمودار استحکام نسبی نمونه‌های ABS حاوی کربنات کلسیم نسبت به چگالی نسبی



شکل (۱۲-الف): نمودار کرنش شکست نسبی نمونه‌های ABS خالص نسبت به زمان و دما.



شکل (۱۲-ب): نمودار کرنش شکست نسبی نمونه‌های ABS حاوی کربنات کلسیم

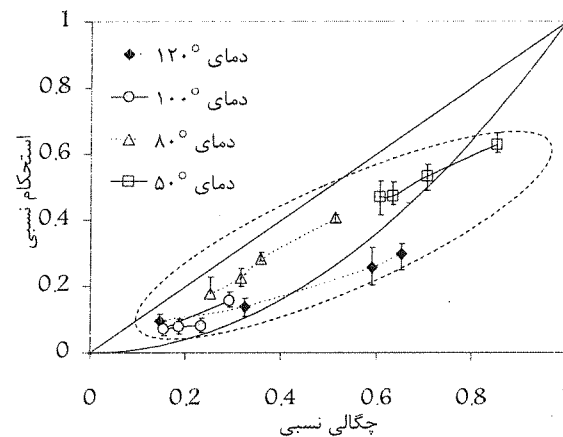
حل شده، مطابق نمودار شکل (۳)، احتمال رشد ناخواسته حباب‌ها کاهش می‌یابد.

نمودار شکل (۱۱) استحکام نسبی قطعات را نسبت به چگالی نسبی نشان می‌دهد. در فرم‌های رایج، معیار طراحی برای فرم بر حسب چگالی به صورت زیر است<sup>[۱۹]</sup>:

$$\frac{T}{T_0} = \left( \frac{\rho}{\rho_0} \right)^2 \quad (9)$$

$T$  در رابطه بالا، استحکام کششی و  $\rho$  چگالی است. بدین معنی که دستیابی به استحکام فرم مطابق فرمول فوق، مطلوب است. بنابراین حصول استحکام فراتر از معیار طراحی فوق، بسیار حائز اهمیت بوده و به نوعی دستاوردهای فرم‌های میکروسکوپی می‌باشد. در ضمن، مقایسه نمودارها نشان می‌دهد که این ویژگی در ABS پردازشده نسبت به ABS پرشده برتری دارد؛ زیراکه اغلب نقاط بین دو منحنی قرار دارد. در مورد ABS پردازشده، بیشتر نقاط خارج از محدوده منحنی غیرخطی قرار دارد.

شکل (۱۲) کرنش شکست به چگالی نمونه‌های فرم‌شده را به کرنش شکست به چگالی نمونه‌های فرم نشده نشان می‌دهد. همان طور که ملاحظه می‌شود در بسیاری از نقاط آزمایش، افزایش کرنش (و به عبارتی چقرمگی) بسیار شکرف است. همان طور که در شکل (۱۲) مشخص است، در بسیاری از موارد چقرمگی قطعه فرم شده نسبت به قطعه فرم نشده (بدون احتساب چگالی) نیز افزون بوده است. این افزایش یکی از مزایای مهم فرم‌های میکروسکوپی است که به دلیل کوچک بودن قابل توجه اندازه سلول‌ها است.



شکل (۱۱-الف): نمودار استحکام نسبی نمونه‌های ABS خالص در زمان و دمای مختلف نسبت به چگالی نسبی

۲- پارامترهای بهینه فوم شدگی شامل دمای فوم کردن و زمان فوم کردن به ترتیب برابر  $100^{\circ}\text{C}$  و ۶۰ ثانیه بوده است که در دو نمونه ABS خالص و ABS حاوی کربنات کلسیم یکسان می‌باشد.

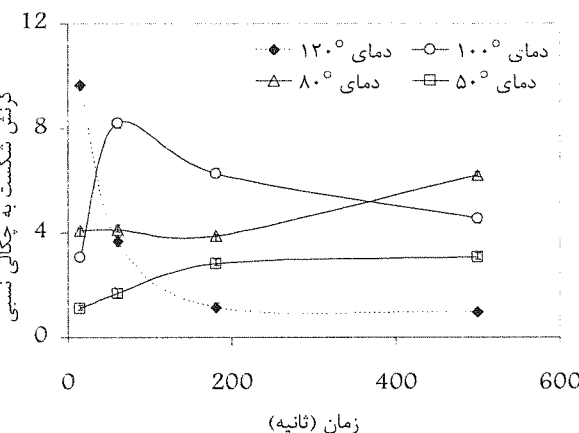
۳- با افزایش دما تا  $100^{\circ}\text{C}$  میزان کاهش چگالی قابل توجه بوده است؛ لیکن با افزایش بیش از حد دما و زمان، چگالی افزایش می‌باید. همین پدیده برای تعداد سلول‌ها نیز صادق است که به صورت کاهش تعداد سلول‌هاست.

۴- تصاویر SEM نشانگر توزیع یکنواخت تر و میزان رشد بیشتر جباب‌ها در نمونه ABS خالص است.

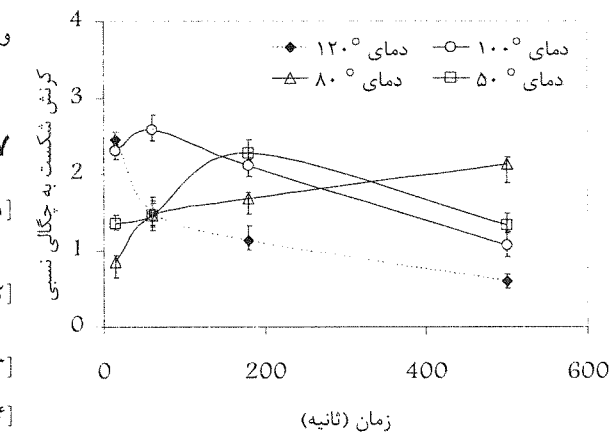
۵- استحکام به وزن فوم میکروسلولی به طور کلی کاهش یافته؛ لیکن با توجه به معیار طراحی برای فوم‌های معمول این نسبت، بالاتر است. هرچند در نقاط محدود، استحکام به چگالی فوم ABS پرشده قابل ملاحظه است؛ لیکن به طور کلی این ویژگی در ABS پرشده بالاتر می‌باشد.

## ۷- مراجع

- [1] Martini, J.E., *The Production and Analysis of Microcellular Foam*, Ph.D. thesis in Mechanical Engineering, MIT, January 1981.
- [2] Park, C.B., Baldwin, D.F. and Suh, N.P., ASME, *Cellular and Microcellular Materials*, MD-Vol. 53 ,pp. 109-124, 1994.
- [3] Kumar, V. and Suh,N.P., SPE ANTEC Tech. Papers, Vol. 39,pp. 715-718,1993.
- [4] Cole, T.J., *Manufacturability of Microcellular Foamed Plastics*, Ph.D. thesis in Mechanical Engineering, MIT, June 1991
- [5] Hyde, L.J., Kishbaugh, L.A. (Trexel Inc.), Katterman, J.A. (Delphi Automotive Systems Corp.), SAE 2002 World Congress Detroit, Michigan, March 2002.
- [6] Harper, Ch. A., *Modern Plastics Handbook*, McGraw-Hill,1999,Chapter 1.2 .
- [7] Colton, J.S. and Suh,N.P., Polym. Eng. And Sci., Mid-Apr., Vol 27, NO.7, pp. 485-499, 1987.
- [8] Hwang,Y.D., Cha, S.W., Polymer Testing 21, pp269-275, 2002.
- [9] Martini, J.E., waldman, F.A. and Suh, N.P., ANTEC 82, 28,674.
- [10] Park, C.B., Behravesh, A.H.. and Venter, R.D., "Chapter 8- A Strategy For Suppression of Cell Coalescence in the Extrusion of Microcellular HIPS Foams," In Book: Recent Advances in Polymeric Foam Scienceand Technology, Khemani, k., ed., ACS, Washington, pp. 115-129(1996).
- [11] Behravesh, A.H., Park, C.B., and Venter, R.D., "Challenge to Production of low-Density, Fine cell HDPE Foams using CO<sub>2</sub>,"Cellular Polymers, Vol. 17, No. 5, pp. 309-326(1998).
- [12] Crank, J. and Park, G.S., *Diffusion in Polymers*, Academic Press Inc., Newyork.N.Y. 1968.
- [13] Van krevelen, D.w., *Properties of polymers*, Elsevier Scientific Publishers Company, 1990.



شکل(۱۲-الف): نمودار کرنش شکست به چگالی نسبی نمونه‌های ABS خالص نسبت به زمان و دما



شکل(۱۲-ب): نمودار کرنش شکست به چگالی نسبی نمونه‌های ABS حاوی کربنات کلسیم

## ۶- نتیجه‌گیری

- [۱] بررسی ساختاری بر روی نمونه‌های فوم شده میکروسلولی ABS خالص و ABS پر شده با کربنات کلسیم به روش توده‌ای انجام گرفت. با توجه به اثر قابل توجه ساختار سلولی بر خواص نهایی محصول، اندازه سلول و تعداد سلول‌های ایجاد شده حائز اهمیت است. با عنایت به کاربرد گستردگی ABS در صنایع مختلف خصوصاً خودرویی، بررسی پدیده فوم میکروسلولی بر روی این ماده انجام گرفت و نتایج ذیل به دست آمد:
- [۲] وجود مواد پرکننده مانند کربنات کلسیم سبب کاهش جذب گاز، افزایش چگالی (کاهش پف شدگی)، کاهش تعداد سلول‌ها می‌شود.

- Matuana, L., Park, C.B., Balatinecz, J.J., Polymer Eng. And Science, July 1997,vol. 37,no. 7, pp1137-1147. [۱۴]
- Kumar, V., Nedella, K.V., *Handbook of Polymer Foams*, Chapter 11, RAPRA Technology, UK 2004. [۱۵]
- R.E. Murray, J.E. Weller and V. Kumar, *Solid State Microcellular Acrylonitrile Butadiene Styrene foams*, Cellular Polymers, Vol. 19, no.6, pp 413-425, 2000. [۱۶]
- Kumar, V., Weller, J., Murray, R., *Microcellular ABS foams*, ANTEC 95, pp 2202-2207. [۱۷]
- Behravesh, A.H., Park, C.B., and Venter, R.D. and Pan, M., *Effective Suppression of Cell Coalescence during Shaping in the Extrusion of Microcellular HIPS Foams*, 212th National ACS Meeting, Polymer Preprints, Vol. 37, NO. 2, pp.767-768, 1996. [۱۸]
- Klempner,D. and Frish, K.C., *Handbook of Polymeric Foams and Foam Technology*, Hanser Publishers,1991,pp 161-163. [۱۹]